ведливо известное соотношение между сечениями захвата электрона в возбужденные состояния

$$\sigma_{n_p} = \sigma_{n_{p-1}} \left(\frac{n_p - 1}{n_p} \right)^3, \tag{3}$$

которое следует из ОБК приближения при $n_p \to \infty$ (или при $v \to \infty$). Из рис. 2 видно, что в области $n_p \simeq 3 \div 6$ зависимость сечений захвата от n_p имеет вид $\sigma_{n_p} = \sigma_{n_p-1}/10^{k(Z_p,v)}$, где, как показали настоящие расчеты, коэффициент k является функцией скорости и зарядов взаимодействующих частиц. Предложенный метод поэволяет легко рассчитывать указанный коэффициент для различных процессов захвата и, следовательно, более точно учитывать вклад сечений захвата электрона в возбужденные состояния в полное сечение захвата в той области главных квантовых чисел, где « n^{-3} »-аппроксимация не является справедливой.

На рис. З приведены сечения захвата электрона протонами из атомов кислорода в зависимости от n_p при энергии налетающих протонов $E_p = 100$ кэВ, а также результаты ОБК и эйконального приближений и данные экспериментов [11—14]. Рассчитанные нами сечения захвата соответствуют экспериментальным результатам, при этом ОБК расчеты завышают, а эйкональные расчеты завижают значения сечений захвата во все рассмотренные состояния. Из рис. З видно, что в отличие от предыду-

щего случая аппроксимация (3) выполняется уже при $n_p \gg 2$.

Таким образом, предложенный метод позволяет в области промежуточных и больших энергий рассчитывать сечения захвата электрона в возбужденные состояния при взаимодействии легких ядер с атомами различных газов. Это представляется важным, так как в широкой области изменения энергии и главных квантовых чисел атомных систем « n^{-3} »-аппроксимация является несправедливой. Результаты расчетов сечений захвата электрона налетающими протонами с энергией $E_p\!=\!100$ квВ в различные возбужденные состояния при взаимодействии с атомами кислорода соответствуют данным экспериментов.

СПИСОК ЛИТЕРАТУРЫ

[1] Ryufuku H., Watanabe T.//Phys. Rev. 1979. A20, N 5. P. 1828—1837. [2] Bransden B. H., Newby C. W., Noble C. J.//J. Phys. 1980. B13, N 21. P. 4245—4255. [3] Отідvат К.//Phys. Rev. 1963. 153, N 3. P. 121—131. [4] Ford A. L., Reading J. F., Becker R. L.//J. Phys. B. 1982. 15, N 18. P. 3257—3273. [5] Шурыгина Ю. А., Сенашенко В. С., Теплова Я. А.//ЖТФ. 1986. 56, № 8. С. 1513—1523. [6] Lin C. D., Soong S. C., Tunnel L. N.//Phys. Rev. 1978. A17, N 5. P. 1646—1657. [7] Slater J. C.//Phys. Rev. 1930. 16, N 1. P. 57—64. [8] Eichler J., Chan F. T.//Phys. Rev. 1979. A20, N 1. P. 104—112. [9] Greenland P. T.//Phys. Rep. 1982. 81, N 2. P. 131—237. [10] Crothers P.S. F.//J. Phys. B. 1981. 14, N 6. P. 1035—1040. [11] Cocke C. L. et al.//Phys. Rev. 1977. A16, N 6. P. 2248—2255. [12] Huges R. H. et al.//Ibid. 1971. A4, N 4. P. 1453—1461. [13] Huges R. H. et al.//Ibid. 1970. A1, N 3. P. 1424—1432. [14] Huges R. H. et al.//Ibid. 1967. A164, N 1. P. 166—170.

Поступила в редакцию 10.06.86

ВЕСТН. МОСК. УН-ТА. СЕР. 3. ФИЗИКА. АСТРОНОМИЯ. 1987. Т. 28, № 3

РАДИОФИЗИКА

УДК 537:862:621.373.7

ИЗМЕРЕНИЕ ИНТЕНСИВНОСТИ СВЕТОВОГО ИЗЛУЧЕНИЯ С ПОМОЩЬЮ ПАРАМЕТРИЧЕСКОГО КВАНТОВАТЕЛЯ ФАЗЫ

С. Е. Жмуров, В. Ф. Марченко, И. Т. Трофименко

(кафедра радиофизики СВЧ)

Одним из физических эффектов, лежащих в основе работы твердотельных приемников светового излучения, является изменение под действием света емкости обедненного слоя в полупроводнике [1]. Наиболее удобной для использования в таких фотоварикапах является бескорпусная структура металл—диэлектрик—полупроводник .(МДП), для которой относительный коэффициент перекрытия емкости при изменении интенсивности света достигает значений ~ 100 , а отсутствие омических шумов приводит к достаточно низкому порогу фоточувствительности $(10^{-11}~{\rm BT/cm^2})$. Это позволяет создать мостовые схемы, чувствительность которых близка к предельной чувствительности систем, использующих эффект фотопроводимости [2]. Поскольку емкость МДП-структуры в области инверсии зависит как от напряжения, так и от интенсивности света, возникает возможность объединить функции фотодатчика и параметрического усилителя. Обсуждение этой схемы, осуществляющей усиление сигнала модуляции модулированного светового пучка, содержится в работе [3].

Повышение чувствительности радиочастотной части приемника и возможность цифровой обработки при измерении интенсивности непрерывного кзлучения даст схема

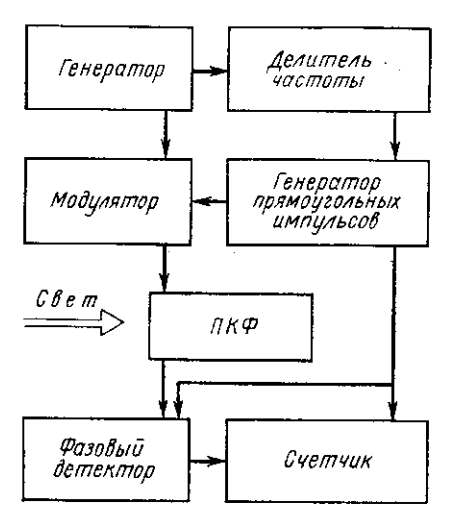


Рис. 1. Блок-схема фотоприемника

параметрического квантователя фазы

(ПКФ). Как известно [4], изменение баланса ПКФ эквивалентно воздействию внешнего сигнала на частоте субгармоники, меняющего статистику фаз периодически возбуждаемого параметрического контура. Поскольку изменение баланса пропорционально интенсивности света, воздействующего на МДП-структуру в одном из плеч балансного ПКФ, вероятность выпадения фаз 0 или л при многократных запусках ПКФ характеризует величину интенсивности света.

Экспериментально исследовался макет параметрического фотоприемника, блок-схема которого изображена на рис. 1. Основной частью является ПКФ, собранный по балансной схеме на двух МДП-структурах типа Al—SiO₂·Si₃N₄— —Si с высоким ($\rho \sim 200$ Ом/см) удельным сопротивлением п-полупроводника. Коэффициент перекрытия по емкости структуры составлял ~ 10 (см. рис. 2). На одну из структур со стороны диэлектрического слоя подавалось сфокусированное излучение непрерывного источника когерентного света ($\lambda = 0.63$ мкм, максимальная интенсивность излучения, проникающего в приповерхностный слой полупроводника, $I_0 \approx 0,1$ мВт) регулируемой интенсивности. Радиоимпульс накачки, запускающий ПКФ и имеющий длительность, равную 30—50 периодам несущей частоты, формируется в

модуляторе из синусоидального напряжения с частотой f=2 М Γ ң с помощью генератора прямоугольных импульсов. Для возбуждения параметрического контура с постоянной фазой импульсный генератор синхронизирован с частотой заполнения делитель частоты с коэффициентом деления 512. Синхронный фазовый детектор вырабатывает импульсы совпадения фазы субгармоники с опорной фазой, равной 0 или л. Число таких импульсов подсчитывается счетчиком. Отношение числа однополярных запусков импульсов совпадения K общему числу характеризует ятность нахождения фазы субгармоники в одном из двух устойчивых состояний. Баланс параметрического контура по накачке, определяющий пороговую чувствитель-

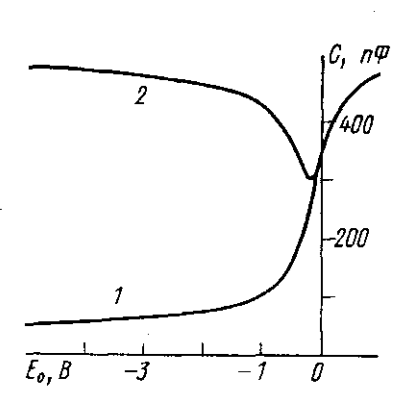
ность радиочастотной части схемы, составлял -60 дБ.

При настройке ПКФ следует принимать во внимание следующие обстоятельства. Область максимальной крутизны вольт-фарадной характеристики МДП-варикапов, обеспечивающая минимальные амплитуды накачки и мягкий порог возбуждения, и область максимальной чувствительности по свету, как видно из рис. 2, не совпадают. Экспериментально было установлено, что выбор рабочей точки в области слабой инверсии, т. е. напряжений смещения на варикапах $E_0 = (-3 - 5)$ В, обеспечивает мягкий режим возбуждения [5], однако при этом требуемые амплитуды накачки возрастают до значений $A_{\rm H} = (1,0 \div 1,5)$ В. За счет ударного возбуждения контура в схеме воэможна систематическая навязка фазы субгармоники; кроме того, при увеличении амплитуды накачки средняя емкость при освещении структуры уменьшается, что в свою очередь уменьшает измеряемый разбаланс контура. Уменьшением крутизны фронтов радиоимпульса накачки при $A_\pi{\sim}1$ В эти нежелательные явления в значительной мере удается устранить. Другая особенность, связанная с использованием облученных МДП-варикапов, заключается в том, что в некотором интервале накачки возникает автомодуляционный режим параметрической генерации. Механизм его обусловлен тем, что время релаксации неосновных носителей становится соизмеримым с периодом напряжения накачки [5]. Выбором частоты накачки и частоты повторения радиоимпульсов удается избежать срывов параметрических колебаний за время запускающего импульса.

Относительная интенсивность оценивалась следующим образом. Предварительно

схема в отсутствие освещения балансировалась так, что вероятность выпадения обеих возможных фаз субгармоники становилась одинаковой. При освещении одной из МДП-структур измерялась зависимость отношения $\Delta n/n_0$ (Δn — отклонение числа однополярных импульсов от половины общего числа запускающих импульсов n_0 = 1000) от интенсивности I/I_0 . Как следует из рис. 3, ход этой зависимости типичен для приемников радиочастотных сигналов с использованием ПКФ [4]. Чувствительность фотоприемника в нашем случае составляла $I/I_0 \sim 10^{-2}$, резерв ее повышения

<u>∆n</u>



0,5 0,4 0,3 0,2 0,1 0,01 0,02 0,03 0,04 I/I_o

Рис. 2. Вольт-фарадная характеристика МДП-структуры: без подсветки (1) и при освещении когерентным источником с интенсивностью I_0 =0,2 мВт (2)

Рис. 3. Зависимость статистики фаз субгармоники от интенсивности освещения $(E_0 = -3 \text{ B})$. Интервал ошибок вычислен для 10 серий и доверительной вероятности 0.91

заключается в использовании специального оптического согласования на поверхности МДП-структуры. При $I/I_0 \sim 4 \cdot 10^{-2}$ наблюдается полный захват фазы субгармоники (насыщение фотоприемника). Для расширения динамического диапазона можно использовать предварительную расстройку контура, соответствующую захвату другой стационарной фазы. В этом случае $\Delta n/n_0$ меняется от —0,5 до 0,5.

Совмещение в одном элементе функции фотодатчика и параметрического квантователя фазы (усилителя) упрощает конструкцию устройства и обеспечивает высокую

чувствительность радиочастотной части приемника.

СПИСОК ЛИТЕРАТУРЫ

[1] Литовченко В. Г., Горбань А. П. Основы физики микроэлектронных систем металл—диэлектрик—полупроводник. Киев, 1978. [2] Аут И., Генцов Д., Герман К. Фотоэлектрические явления. М., 1980. [3] Пенфильд П., Сойер Д.///ТИИЭР, 1965. 53, № 4. С. 393—401. [4] Комолов В. П., Трофименко И. Т. Квантование фазы при обнаружении радиосигналов. М., 1976. [5] Жмуров С. Е., Марченко В. Ф.//Вестн. Моск. ун-та. Сер. 3, Физ. Астрон. 1985. 26, № 6. С. 40—42.

Поступила в редакцию 15.09.86